

東京工業大学 正員 長堀重義
東京工業大学 正員 ○後藤祐司

1. まえがき

衆知の如くPC部材は多くの利点があるが現場での緊張作業その他が煩雑であるという問題がある。本研究は高レベルのプレストレスを導入したコンクリートの棒(以下PCロッドといふ)を鉄筋の代わりに使用した部材の力学的性状について検討したもので、PCロッドを用いた合成梁と同一断面をもつPC梁およびRC梁との比較をした曲げ試験(シリーズA)と、合成梁のせん断試験(シリーズB)を行なった結果について報告するものである。

2. 試験の概要

(1) PCロッドの作製：本試験で使用したPCロッドは新たに製作したPCロッド用型枠で作製したもので $5\text{cm} \times 5\text{cm}$ の断面にシリーズAでは 220kg/cm^2 、シリーズBでは 250kg/cm^2 の高プレストレスを導入したものである。このような高プレストレスの導入を可能にするため、表-1に示すような高強度コンクリートを使用して圧縮強度をおよそ 800kg/cm^2 に高めた。PCロッドには後打ちコンクリートとの付着性を向上させるため、図-1に示すような市販の縦鋼板によるデフォメーションが両サイドにつけてある。

(2)供試梁の製造および試験：シリーズAでは、図-2に示すように新たに製作した型枠を用いて、PCロッドとPC梁を製造し、更に、このPCロッドを埋め込んだ合成梁とRC梁を製造した。このようにして製造された同一断面の合成梁(CB梁)、PC梁、RC梁を、スパン 110cm および 210cm の2種類について曲げ試験を行なった。シリーズBに用いた合成梁は図-7に示されるように載荷スパン内のPCロッドのプレストレス量を一定にするため、ストランドの定着長($70\sim90\text{cm}$)だけ、PCロッドが外にはり出している。このようにして、スパンが $40, 70, 90, 120\text{cm}$ になるよう4種類の合成梁を製造し、 a/d を $1.8, 2.8, 3.5$ および 4.7 に変えてせん断試験を行なった。

3. 試験結果

(1)シリーズA：図-3、および図-4は、スパンが 210cm の場合の各梁のたわみ量および亀裂巾

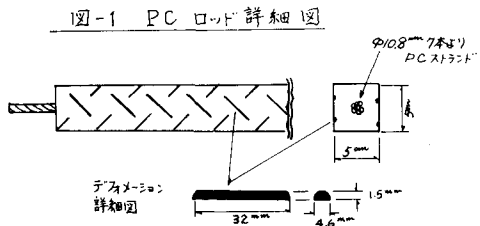
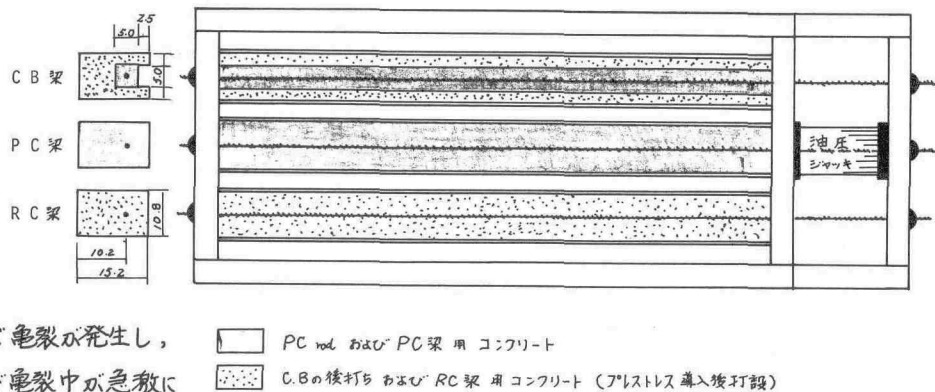


表-1 コンクリートの配合および強度性状

		W (kg)	C (kg)	S (kg)	G (kg)	NL1400 (kg)	プレストレス導入時 の圧縮強度 (kg/cm²)	載荷試験時 圧縮強度 (kg/cm²)	載荷試験時 ヤング率 ($\times 10^{-4}\text{ kg/cm}^2$)	載荷試験時 引張強度 (kg/cm²)
シリーズ A	PC梁 PCロッドコンクリート	193	730	553	975	7.30	730	860	32	—
	RC梁 後打ちコンクリート	191	776	556	1036	7.76	—	765	31	—
シリーズ B	PCロッドコンクリート	255	992	7116	—	9.92	715	876	27	—
	後打ちコンクリート	193	730	553	975	7.30	—	724	32	32

の荷重の増加

による変化を
それぞれ示し
たものである。
RC梁では荷
重が0.4t (下
縁引張応力
 31 kg/cm^2) を



越えたところで亀裂が発生し、たわみ量および亀裂幅が急激に

増加している。一方、合成梁はRC梁と同じ荷重において後打ちコンクリートに亀裂が生じたが、PCロットの効果によりRC梁のような急激な変化は示さない。荷重が1.0tを過ぎたところでPC梁(下縁引張応力 100 kg/cm^2 , 下縁の導入プレストレス量約 60 kg/cm^2)、および合成梁のPCロット(引張応力 230 kg/cm^2)に亀裂が発生しPC梁、合成梁においても、たわみ量および亀裂幅の増加の傾向が著しくなっている。ちなみに $P=1.0 \text{ t}$ でのたわみ量を比較すると、PC梁で 0.25 cm 、合成梁で 0.54 cm 、RC梁で 1.40 cm であり、合成梁はPC梁

とRC梁のあいだにあって変形性状はPC梁に近い。次に、残留たわみ、および残留クラック幅を比較すると、合成梁はPC梁にほとんど匹敵する復元性をもつことが認められる。このことは、合成梁もPC梁も復元力に関係するPCストランドの緊張力がほぼ同一であることから妥当な結果であると思われる。図-5は供試体測面で測定したコンタクトゲージの読みから計算される、剛性率K

$$(= EI = M / \frac{\varepsilon_c + \varepsilon_t}{h})$$

図-3 荷重-たわみ、残留たわみ

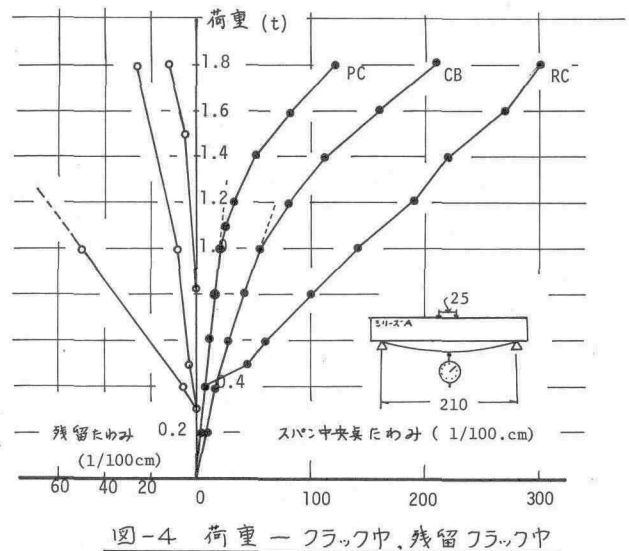
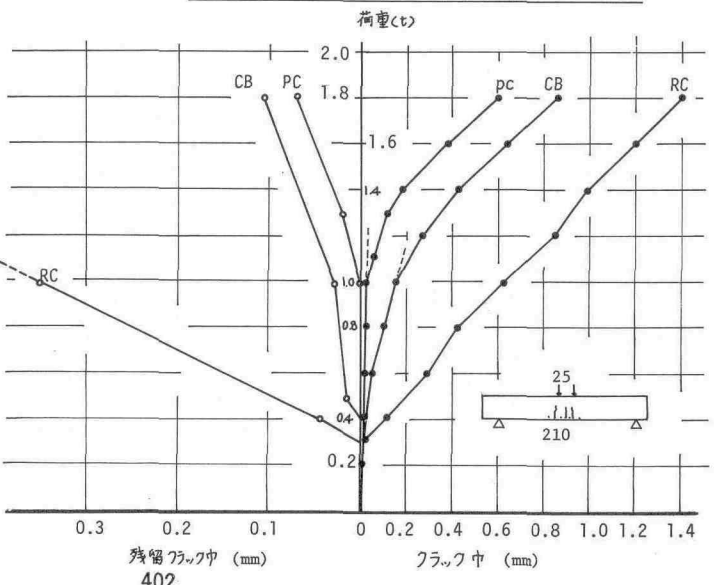


図-4 荷重-クラック幅、残留クラック幅



の載荷モーメントの増加による低下率を示したものである。RC梁は亀裂の発生により、Kが急速に一割程度にまで減りしているが、合成梁では後打ちコンクリートによる亀裂が発生してもPCロッドには亀裂が生じていないので、Kの低下率は約40%に抑えられている。PC梁は亀裂が発生するまで他の梁に比べてKの低下が遅くなっている。図の実線で示されるようにKの低下率をそれぞれの状態におけるヤング率E_yおよび慣性モーメントI₀を求めて計算すれば実測値とよく一致している。

以上の現象について一般的に言えることは合成梁の外力を受けたときの変形はPC梁とRC梁のあいだにあってPC梁に近い性状を示し、除荷したときの復元性では合成梁はPC梁に匹敵することが認められた。

次に各梁の破壊モーメントであるが、表-2に示されるように、RC梁ではスパンが120cmでも、210cmのときでも、セン断破壊を起しており、合成梁、PC梁に比較して耐力が低下している。合成梁、およびPC梁においても、セン断破壊形式をとっているが、スパンの違いによらず、ほぼ一定の120t·cm前後のモーメントで破壊を起しており、ちなみに、これらの梁がPCストラニドの降伏によるとした曲げモーメントを計算すると*、120t·cmとなり、合成梁およびPC梁はPCストラニドが降伏したのち、セン断破壊をしたと考えることができる。図-6は、スパン210cmのときの各梁のひびわれ性状を示したもので、PC梁のひびわれ間隔がわざかに小さく、合成梁のひびわれが、梁全体にわたって生じている特徴のほかには、全般的にいざれの梁もそれほどの相違は認められない。

図-5 刚性率KのMomentの増加による低下

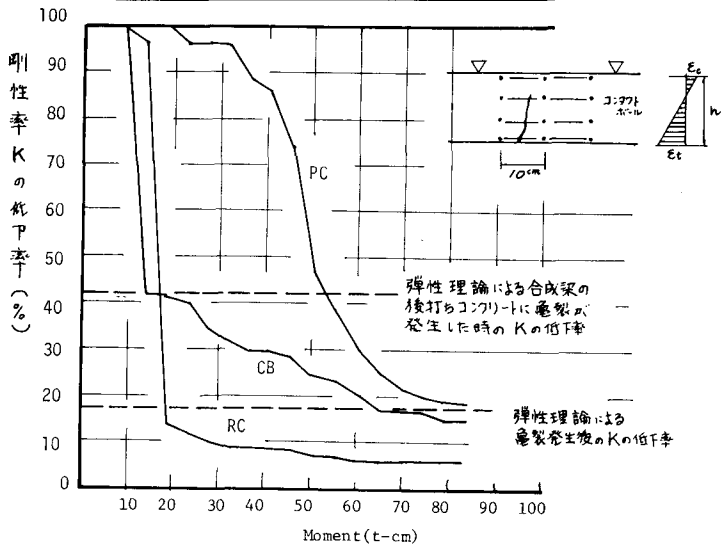
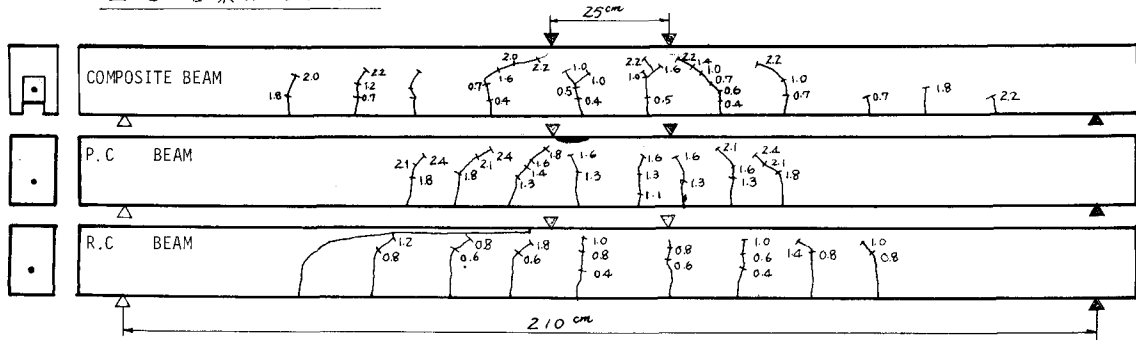


図-6 各梁のひびわれ図



$$M_u = P \left(1 - \frac{P \cdot f_{sy}}{Z \times 0.85 \cdot f_{cu}} \right) b d^2 f_{sy}$$

(2)シリーズB: PCロッドを用いたセニ断
破壊性状は a/d の相違によらず、破壊荷重の90%を越えるところから図-8中の0点から、発生した曲げ引張亀裂が荷重軸に向って傾斜して発達してゆき、破壊荷重において急速なヒン断破壊を起し、PCロッドも完全に破壊した。なお、スパンが最も短い場合も後打ちコンクリートとPCロッドのあいだの付着破壊は全く起きず、図-1に示したPCロッドのデフォメーションで付着性能は十分であることが認められたが、この点に関しては、くり返し荷重を受けた場合について検討する必要がある。

図-8は a/d と $M = P \times a / 2$ で計算されるセニ断破壊モーメントの関係をプロットしたものである。供試体の本数は少ないが、鉄筋コンクリートと同様に $a/d = 2.5$ 附近でセニ断破壊モーメントは最小値をとるような傾向が認められる。

合成梁のセニ断耐力の計算式は種々提案されているが、ここでは、式中にコンクリートの圧縮強度と鉄筋比のパラメーターをもつ Z_{sutt} の式によって検討してみる。

$$\frac{V_{dt}}{bd} = 10.38 \left(f_c \cdot p \cdot \frac{d}{a} \right)^{1/3} \quad \text{--- ④}$$

但し $a/d > 2.5$
(単位 kg/cm)

V_{dt} : セニ断破壊荷重
 p : 鉄筋比
 f_c : コンクリートの圧縮強度

合成梁を単にPCストランドを配したRC梁とみなすと④式に $P = PC\text{ストランド面積}/bd$ を代入すると、

図-8中の計算値1に示すような結果となり、実験値の方が著しく上回っているが、この増加した耐力がPCロッドによる Dowel Action 効果であると考えられる。

次にPCロッドを鉄筋と見なすと、鉄筋比は r^2/bd (r^2 : ロッド断面積)となるが、④式は鉄筋を対象とした式なので、ヤング率の違いを加味する必要がある。そこで見かけ上の鉄筋比を r^2/nbd (n : ヤング率比)と考え、これをそれぞれ 1/5 および 1/10 として、見かけの鉄筋比を計算し、④式に代入すると、図中に示されるように、 $n=10$ とした場合が実験値とよく一致した。

セニ断耐力に関しては、鉄筋コンクリートにおいてさえ確立された理論もない現状において、上述の考察が不完全であることは当然であり、今後PCロッドの Dowel Action 効果を主体として合成梁のセニ断性状を更に検討してゆきたいと考えている。

表-2 合成梁の破壊荷重および破壊モーメント

	合成梁		PC梁		RC梁	
スパン(cm)	210	120	210	120	210	120
破壊荷重	2.6t	5.7t	2.6t	5.4t	2.4t	3.5t
破壊モーメント	120 t·cm	121 t·cm	120 t·cm	118 t·cm	111 t·cm	73.5 t·cm

図-7 シリーズB用供試梁

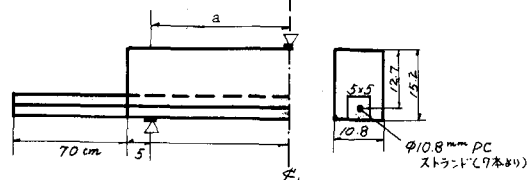


図-8 a/d を変化させたセニ断試験結果

